

泥流の流動機構について

名城大学理工学部 新井宗之

1.はじめに：水に土砂を多量に含んだ流れの流動機構の考え方には大きく分けると次のようないつある。一つは乱れによる効果が支配的であり土砂は水に浮遊しているといふ考え方であり、第二は粒子の衝突の効果が支配的で運動量の交換はこの衝突によつて行なわれるとするダイラタント流体モデルである。そして粒子間力の効果が支配的で降伏剪断値を持つ流れのビンカム流体モデルがある。これらの流動機構を支持する条件は、例えは粒子径や濃度や水理条件など、必ずしも明確であるとはいえない。著者は土砂を高濃度に含んだ流れの流動機構を明らかにしようとしていると共に、流動機構の支持条件も明らかにするため粒子径、濃度等を系統的に変化させて実験を行つてゐる。濃度が高く粒径も比較的大きい場合には粒子どうしの衝突効果が大きいとされてゐるが、ここでは高濃度での流中の粒子の軌跡を追跡した結果、平均流速としてはダイラタントモデルに拟似的よく一致するものの粒子は乱れてゐることが認められた。

2.実験条件及びその方法：実験砂は $d_{50} = 0.99 \text{ mm}$ 、砂の密度は $\rho = 2.70 \text{ g/cm}^3$ 、土砂の容積濃度は $C=0.4$ で、水路こう配は $\theta = 20^\circ$ である。実験水路は 11 m である。上流側 6 m に実験砂を $10 \sim 15 \text{ cm}$ 敷き、上流端より給水し泥流を生じさせて下流側 5 m の水路に流下させる。水路床はペニキ仕上げの滑面である。水路側面は硬質アクリルであり、水路下流端から約 2.5 m の位置における流れを側面より 16 mm の高速度カメラ（ハイカム・ハイスピードカメラ、レッドレークラボラトリー社製）で撮影した。流れの平均濃度は下流端で流速を採取して測定した。

流れの中の粒子の軌跡を調べる別の実験として、水路側面から 35 mm カメラを用いて粒子の軌跡を撮影した。カメラを流下方向へ平行移動できるようにし、その移動は手動で行ない、撮影にはモータドライバを用い毎秒 $2 \sim 3$ コマで撮影した。実験砂は粒径 $d_{50} = 0.99 \sim 0.09 \text{ mm}$ で密度 $\rho = 2.58 \sim 2.76 \text{ g/cm}^3$ 、水路こう配 $\theta = 10 \sim 20^\circ$ 、土砂の容積濃度は $C=0.4$ で行なった。

3.考察：今までの実験結果の流速分布によると、容積濃度が $C=0.1$ 程度では粒子どうしの衝突の効果は非常に小さく混合の効果が卓越していることが解った。濃度が高く粒径が比較的大きな場合にはダイラタント流体モデルがよく現象を説明し得るとされている。著者は濃度が $C=0.3$ 程度で粒径が $d_{50} = 0.17 \text{ mm}$ でも衝突の効果が支配的なダイラタント流体モデルに近い流速分布を示す結果を得ている。

高濃度の流れに如何に実際に乱れてゐるかどうかを調べるために 35 mm カメラで流れの側面を撮影した。その結果の一つは写真-1である。 $d_{50} = 0.99 \text{ mm}$ $C = 0.4$ 、 $\theta = 20^\circ$ である。カメラの移動速度は約 70 cm/s である。写真では粒子の乱れが認められた。そこで粒子の軌跡をもつと正確に知るために流れの側面を高速度カメラで撮影し粒子の軌跡を調べ



写真-1

た。その結果の例が図-1, 図-2である。図は川流れを流下方向(×方向)への移動座標系で示したものである。その速度は図-1で約 $u_0 = 51 \text{ cm/s}$ である。図-1の粒子は相対水深で2倍床より $y/h = 0.18$ 付近の粒子のベクトル図であり、図-2は約 $u_0 = 54 \text{ cm/s}$ の移動座標系で、相対水深 $y/h = 0.25$ 付近の粒子のベクトル図である。川流れも粒子の乱れを認めることができる。図-1では少し複雑な粒子の動きであるが、マクロ的には移動座標系で回転方向の粒子の動きが認められる。これは容積濃度が $c = 0.44$ の高濃度の流れであって、しかも中央粒径は約 1 mm であるから、乱れの効果があることを示している。

図-3は抵抗則で示した実験結果と理論値である。図中に示す壩水法で得た川流れ分布からの結果と共に、図-1, 図-2の実験結果を示してある(■)。混合効果と粒子の衝突効果を考慮した式として

$$\frac{U}{u_0} = \frac{1}{k} \left\{ \sinh^{-1} \left(\frac{1}{\phi} \right) - \sinh^{-1} \left(\frac{Y_0}{\phi} \right) - \sqrt{1 + \phi^2} + \phi \right\}$$

滑面の場合 $Y_0 = a/R_k$, $R_k = u_0 k / \nu$, $a = 1/9.025$

$$\phi^2 = \lambda^2 \left(\frac{a \sin \alpha}{R_k} \right) \left(\frac{\lambda}{d} \right) \left(\frac{d}{h} \right)^2 \quad \dots (1)$$

また、ダイラクレント流体モデルとして

$$\frac{U}{u_0} = \frac{2}{5} \left[\frac{1}{a \sin \alpha} \left\{ c + (1-c) \frac{P}{a} \right\} \right]^{\frac{1}{2}} \frac{1}{\lambda} \left(\frac{h}{d} \right) \quad \dots (2)$$

を図中に示した。これによると先の $c = 0.44$ の実験結果はダイラクレント流体モデルと比較的よく一致している。ダイラクレント流体モデルでは粒子は平均的にみれば格子状に配列していふと仮定しており、配列を越えて粒子が水深方向に移動して運動量を輸送するとしている。にもかかわらず平均流速としてはダイラクレント流体モデルによるものと比較的よく一致する。これはその剪断応力が $= a \sin \alpha \cdot (ad)^2 \left(\frac{du}{dx} \right)^2$ として表わされているが、式の右側の $\left(\frac{du}{dx} \right)^2$ に対して表わされているが、式の左側の $(ad)^2$ と $a \sin \alpha$ とに相当しており、 $a \sin \alpha \approx 0.02$ が適当な値となっているからと思われる。

参考文献 1)新井, 高橋; 第38回国土工学会年講, 昭59.10, II-178.

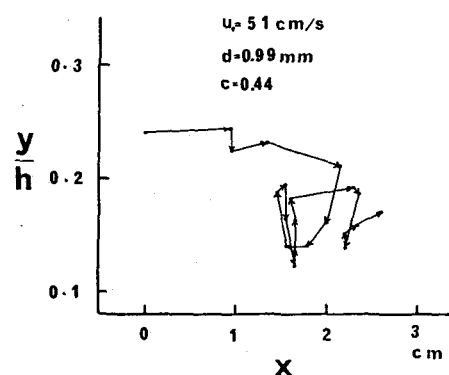


図-1 粒子の軌跡

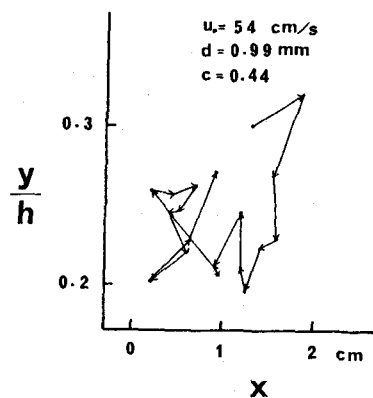


図-2 粒子の軌跡

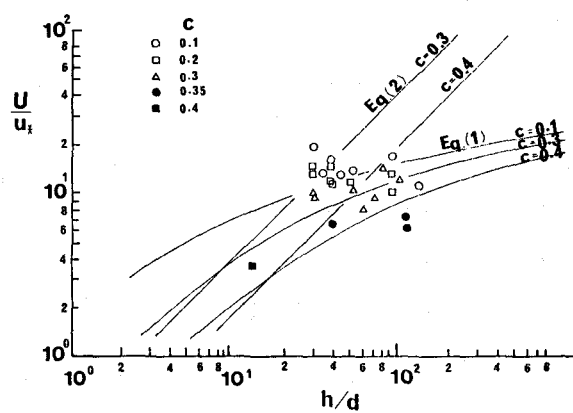


図-3 抵抗則